

文章编号: 0253-2239(2004)10-1397-4

Yb³⁺: Er³⁺共掺氟磷酸盐玻璃的发光和激光性能

张丽艳^{1,2} 温磊¹ 胡丽丽¹

(¹ 中国科学院上海光学精密机械研究所, 上海 201800
² 济南大学材料科学与工程学院, 济南 250022)

摘要: 稀土掺杂氟磷酸盐玻璃是可以满足波分复用系统及超短脉冲系统对带宽和平坦增益要求的激光材料之一。研究了其中一种增益带宽宽, 发光谱线平坦的镱铒共掺氟磷酸盐玻璃, 其计算半峰全宽为 51 nm。对反映宽带性能的有效增益截面的研究表明, 该镱铒共掺氟磷酸盐玻璃在 1530~1580 nm 之间有一平坦的有效增益截面谱线, 证明其宽带特性明显优于掺铒磷酸盐玻璃。对 Yb³⁺离子敏化效率的研究显示, 在镱铒比为 10:1 时, Er³⁺离子的吸收截面和发射截面达最大值, 分别为 0.6601 pm² 和 0.7325 pm², 表明此比值下 Yb³⁺对 Er³⁺的能量传递效率最高。实验结果显示 Yb:Er 氟磷酸盐玻璃可用作带宽宽, 增益平坦, 可实现高能输出的激光器和光纤放大器的基质玻璃材料。

关键词: 光学材料; 敏化; 有效增益截面; 氟磷酸盐玻璃

中图分类号: TQ171.1+12 文献标识码: A

Spectroscopic and Laser Properties of Yb³⁺:Er³⁺ Codoped Fluorophosphate Glasses

Zhang Liyan^{1,2} Wen Lei¹ Hu Lili¹

(¹ Shanghai Institute of Optics and Fine Mechanics, The Chinese Academy of Science, Shanghai 201800
² Material Science and Engineering School, Jinan University, Jinan 250022)

(Received 28 September 2003; revised 18 December 2003)

Abstract: Rare-earth doped fluorophosphate glass is one of the laser materials that can meet the requirements of wavelength-division-multiplexing (WDM) system and ultra-short pulse system for bandwidth and flat gain. A wide-band, flat gain Yb³⁺:Er³⁺-codoped fluorophosphate glass is investigated, and the calculated full width at half maximum (FWHM) is 51 nm. The study on effective gain cross section shows that there is a flat gain shape between 1530~1580 nm, which proves that the wide-band property of the glass is much better than that of phosphate glasses. The sensitization efficiency of Yb³⁺ on Er³⁺ shows that when Yb:Er ratio is 10:1, the absorption and emission cross sections of Er³⁺ reach the maximum of 0.6601 pm² and 0.7325 pm² respectively, indicating that in this ratio, energy transfer efficiency reaches the best. Results shows that Yb³⁺:Er³⁺ codoped fluorophosphate glass can be a promising candidate as the media glasses for wide-band, flat gain, high output power lasers and laser amplifiers.

Key words: optical materials; sensitization; effective gain cross section; fluorophosphate glass

1 引言

Er³⁺掺杂激光材料由于 Er³⁺离子 ${}^4I_{13/2} \rightarrow {}^4I_{15/2}$ 的荧光跃迁在对人眼安全的 1.5 μm 附近区域有很

好的增益性质, 因而广泛应用于光通信、医药、气象和军事等领域^[1,2]。随着计算机网络和其它数据传输服务的飞速发展, 长距离光纤传输系统对通信容量和系统扩展的需求日益膨胀, 而传统的掺铒石英光纤放大器由于其较小的增益带宽(30 nm)已不能满足高速大容量信息传输的要求^[3,4]。当前, 锁模

E-mail: jndxzly@hotmail.com

收稿日期: 2003-09-28; 收到修改稿日期: 2003-12-18

技术虽然也引起了很大重视,但这种系统的平均能量较低,而磷酸盐体激光玻璃材料可以实现大的能量输出,但其缺点是脉冲较长^[5]。为了获得带宽宽,增益平坦的掺铒光纤放大器,满足波分复用(WDM)系统的发展要求,各国研究者都在寻找新的掺铒玻璃基质材料。掺铒磷酸盐玻璃虽然具有较宽的荧光发射带宽和较高的受激发射截面,但其较差的玻璃热稳定性、严重的上转换现象和昂贵的价格限制了它的广泛应用。氟磷酸盐玻璃具有较好的化学稳定性和热稳定性、较低的声子能量、较宽的红外透过性能和大的非均匀展宽特性^[6,7],使其成为很有前景的实现宽带高增益放大掺铒玻璃的理想介质材料。在980 nm抽运条件下,由于Yb³⁺离子在980 nm区域具有远大于Er³⁺离子的吸收截面,通过Yb³⁺的敏化作用可以大大提高抽运效率^[8,9]。本文研究了Yb³⁺:Er³⁺共掺氟磷酸盐玻璃中Er³⁺离子的光谱性质,计算了其吸收截面、发射截面和有效增益截面(或带宽),探讨了Yb³⁺含量及镱铒离子比例对玻璃光谱参量的影响,并与磷酸盐玻璃宽带性能进行了比较。

2 实 验

2.1 玻璃制备和性能测试

玻璃制备所用原料为化学纯氟化物及磷酸二氢盐。YbF₃为光学纯。称取50 g原料,充分混合后置于100 ml白金坩埚中在温度控制精度为±2 °C的硅碳棒电炉中熔融10 min,通N₂气2 min,澄清30 min后降温出炉,浇铸入铁模,于T_g温度下保温3 h后以10 °C/h的速率冷却到室温。将样品加工成尺寸为10 mm×20 mm×1 mm的薄片,用于光谱性质测量。

光谱测试在常温下进行。玻璃的吸收光谱测量采用PERKIN-ELMER LAMBDA 9型分光光度计。荧光光谱采用法国J-Y公司的TIAX550型荧光光谱仪测试,用974 nm激光二极管作为抽运源,荧光寿命通过示波器读出。玻璃的密度由排水失重法测量,Yb³⁺和Er³⁺浓度由美国热电公司的ICP等离子体发光光谱仪测得。

2.2 吸收和发射截面计算

采用倒易方法计算Er³⁺离子的受激发射截面^[3]:

$$\sigma_{\text{emi}}(\lambda) = \sigma_{\text{abs}}(\lambda) \frac{Z_l}{Z_u} \exp\left(\frac{E_{zl} - hc\lambda^{-1}}{kT}\right), \quad (1)$$

其中吸收截面

$$\sigma_{\text{abs}}(\lambda) = \frac{2.303 \lg(I_0/I)}{NL}, \quad (2)$$

Z_l, Z_u分别代表下能级和上能级的配分函数,室温下Z_l/Z_u近似为简并度的比。对氟磷酸盐玻璃Z_l/Z_u比值取1.1,k为玻尔兹曼常量,h是普朗克常量,E_z为零线能量,lg(I₀/I)是样品的吸收光密度,N为稀土离子数密度,单位为ions/cm³,L为试样厚度(cm)。

2.3 激光性能

因为Er³⁺离子是以准三能级系统运行的,其吸收和发射谱交叠较大,所以它的再吸收现象比较严重,因此了解这类激光材料的增益性能是很重要的。考虑到基态和激发态对激光和抽运谱光的再吸收,则增益系数g(λ)可表示为^[8]

$$g(\lambda) = [\sigma_{\text{emi}}(\lambda) - \sigma_{\text{esa}}(\lambda)]N_e - \sigma_{\text{abs}}(\lambda)N_f, \quad (3)$$

其中N_e, N_f分别是激光转变时上下能级的粒子数,σ_{esa}(λ)是⁴I_{13/2}能级的激发态吸收截面,该值在1600 nm以下时可以忽略,因此上式变为

$$g(\lambda) = \sigma_{\text{emi}}(\lambda)N_e - \sigma_{\text{abs}}(\lambda)N_f, \quad (4)$$

相对粒子数反转定义为β=N_e/(N_e+N_f),结合(3)式和(4)式,得到有效增益截面表达式:

$$\sigma_g(\beta) = \beta\sigma_{\text{emi}} - (1-\beta)\sigma_{\text{abs}}. \quad (5)$$

激光发射波长决定于受激粒子的吸收截面,发射截面及粒子数反转,因此有效增益截面σ_g(β)是衡量激光增益性能的一个有效参量。

3 结果与讨论

3.1 发光光谱性质

图1为Yb:Er共掺氟磷酸盐玻璃及单掺Er磷酸盐玻璃的发射光谱的比较。一般用半峰全宽(FWHM)来表示Er³⁺离子发射带宽的大小。可以看出,Er³⁺离子在氟磷玻璃基质中的谱线要明显宽于在磷酸盐玻璃基质中的。计算得出Er³⁺在氟磷酸盐玻璃中的半峰全宽为51 nm,明显大于其在磷酸盐玻璃中的26 nm。根据Yb³⁺掺杂浓度对Er³⁺发光光谱影响的研究,表明Er³⁺离子的半峰全宽并不随Yb³⁺掺杂浓度的增加而变化,但发光强度却随Yb³⁺离子浓度的增加而明显增加,说明Yb³⁺离子大大提高了对抽运光的吸收效率。Philips^[5]曾对Er³⁺在商业QX玻璃及氟磷玻璃中的发射截面谱线宽度做过比较,也得出类似结论。这是由于氟磷玻璃中Er³⁺离子周围具有较大的配位场变化,从而引起较大的Er³⁺离子发光光谱的非均匀展宽。因此,

相比于硅酸盐和磷酸盐玻璃而言,氟磷玻璃更有利于放大器对带宽的要求。

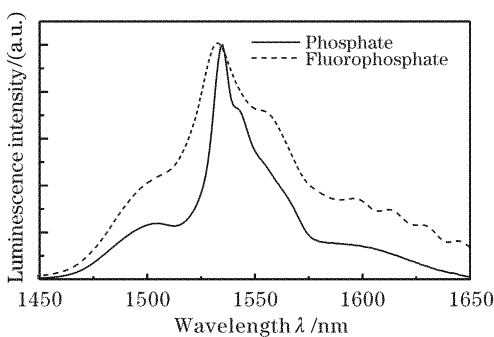


Fig. 1 Emission spectra of Yb:Er fluorophosphate glass and Er:phosphate glass

图2为Yb:Er共掺氟磷酸盐玻璃的上转换荧光光谱,中心位于525 nm, 545 nm及656 nm附近的三个发光带分别对应于由激发态²H_{11/2}、⁴S_{3/2}及⁴F_{9/2}向基态⁴I_{15/2}能级的跃迁。Er³⁺离子的多能级特点使它容易发生上转换现象,尤其是激光上能级⁴I_{11/2}与中间能级⁴I_{13/2}之间的较大能量(3600 cm⁻¹)间隔导致Er³⁺在上能级的寿命长,因此,⁴I_{11/2}上的粒子易发生上转换发光。其上转换机制有两种,一是⁴I_{11/2}能级上的部分粒子吸收980 nm抽运光,产生激发态吸收而跃迁到⁴F_{7/2}能级;二是两个⁴I_{11/2}能级的粒子相互作用而产生向上能级⁴F_{7/2}和下能级⁴I_{15/2}的跃迁。这两种机制都导致上转换发光现象,对介质的增益特性和抽运效率都有很不利的影响,要尽量抑制。

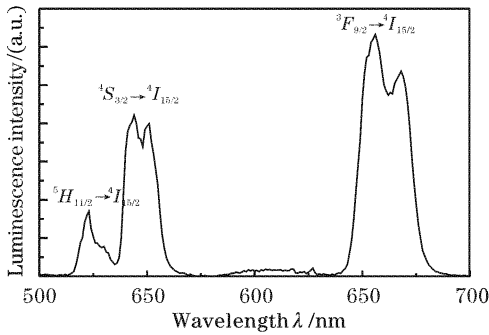


Fig. 2 Upconversion spectra of Er³⁺ in this fluorophosphates glass

3.2 Yb³⁺离子对Er³⁺发光性能的影响

表1列出了ErF₃为0.001摩尔时,Yb³⁺含量对Er³⁺离子吸收和发射截面的影响以及YbF₃为0.01摩尔时吸收和发射截面随ErF₃浓度的变化。图3为Er³⁺离子的吸收和发射截面在不同Yb:Er掺杂比例条件下的改变。从表1中可以看出,YbF₃的加入会明显改善Er³⁺离子的光谱性能,吸收截面

和发射截面从不掺Yb³⁺时的0.5192 pm²和0.5723 pm²提高到YbF₃掺杂量为0.01摩尔时的0.6601 pm²和0.7325 pm²。但随着YbF₃含量的继续增加,吸收和发射截面值均下降,这表明Yb³⁺离子对Er³⁺离子敏化效率的降低,即出现了能量逆向传递(能量从Er³⁺传递给Yb³⁺)的现象。当YbF₃浓度固定时,ErF₃浓度的提高并未带来单掺Er³⁺时所有的吸收和发射截面增大的现象,其原因也是不同Yb:Er摩尔比带来的能量转移效率的差异。图3给出的吸收和发射截面随不同Yb:Er摩尔比值变化的趋势也表明,在Yb:Er摩尔比值为10:1时具有最高的敏化效率,即在该比值情况下Yb³⁺对Er³⁺的能量传递最为有效。

Table 1 Absorption and emission cross sections of ErF₃ doped fluorophosphate glasses

| YbF ₃ /mol | ErF ₃ /mol | $\sigma_{\text{abs}}/\text{pm}^2$ | $\sigma_{\text{em}}/\text{pm}^2$ |
|-----------------------|-----------------------|-----------------------------------|----------------------------------|
| 0.00 | 0.001 | 0.5192 | 0.5723 |
| 0.01 | 0.001 | 0.6601 | 0.7325 |
| 0.02 | 0.001 | 0.6322 | 0.7030 |
| 0.03 | 0.001 | 0.5818 | 0.6454 |
| 0.01 | 0.003 | 0.5961 | 0.6705 |
| 0.01 | 0.004 | 0.5554 | 0.6211 |
| 0.01 | 0.005 | 0.5606 | 0.6245 |

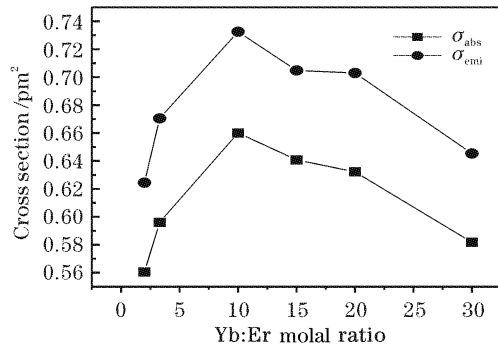


Fig. 3 Absorption and emission cross sections of Er³⁺ doped fluorophosphates glass as a function of Yb:Er molal ratio

3.3 有效增益截面

图4给出了上能级相对粒子数 β 分别为0.4, 0.5, 0.6, 0.7时镱铒共掺氟磷玻璃图4(a)与掺铒磷酸盐玻璃(b)的有效增益截面 $\sigma_g(\beta)$ 的谱图。为了比较氟磷玻璃和磷酸盐玻璃的激光输出波长的情况,采用衡量激光输出波长性能的有效增益截面谱图对此做直观的比较。图中显示氟磷玻璃在1530~1580 nm的范围内有一个平坦的增益波形,而磷酸盐玻璃只是在1535 nm处出现一个峰值,谱线较陡。这进一步说明掺Er³⁺氟磷玻璃具有很好的明

显优于磷酸盐的宽带输出及放大性能。

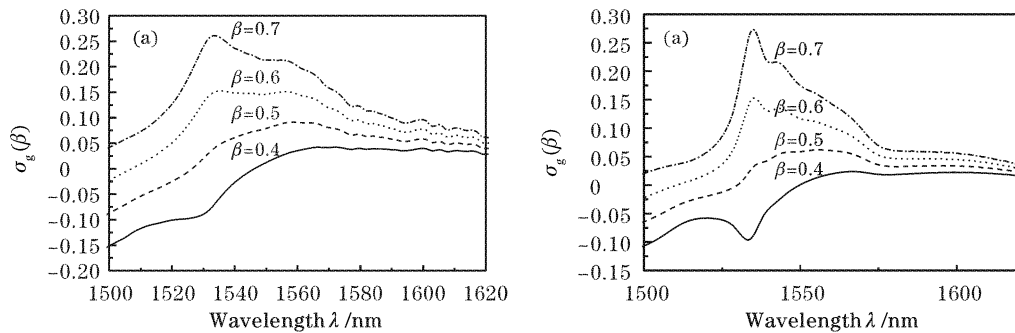


Fig. 4 Effective gain cross sections for fluorophosphates (a) and phosphate (b) glasses at different inversion levels

结论 通过对 Yb:Er 共掺氟磷玻璃和单掺 Er 磷酸盐玻璃的吸收截面和发射截面以及衡量激光输出波长特性的有效增益截面的研究,表明在实现宽带放大和平坦增益上铒氟磷玻璃明显优于铒磷酸盐玻璃。Yb³⁺离子对 Er³⁺离子的敏化效率在 Yb:Er 摩尔比为 10:1 时为最高,此时 Er³⁺的吸收和发射截面可从单掺 Er³⁺时的 0.5192 pm² 和 0.5723 pm² 提高到 0.6601 pm² 和 0.7325 pm²,表明此比值时 Yb³⁺对 Er³⁺的能量转移效率最高。研究结果表明该类稀土掺杂氟磷酸盐玻璃有望成为带宽宽,增益平坦及可实现高能输出的掺铒光纤放大器的基质玻璃材料。

参 考 文 献

- 1 Liu Zhuping, Dai Shixun, Hu Lili *et al.*. Study on spectroscopy of Yb³⁺ and Er³⁺ co-doped phosphate glasses. *Chin. J. Lasers* (中国激光), 2001, **A28**(5): 467~470 (in Chinese)
- 2 Yang Jianhu, Dai Shixun, Dai nengli *et al.*. Effect of Bi₂O₃ on the spectroscopic properties of erbium - doped bismuth silicate glasses. *J. Opt. Soc. Am. (B)*, 2003, **20**(5): 810~815
- 3 Yang Jianhu, Dai Shixun, Hu Lili. Spectroscopic properties of Er³⁺/Yb³⁺ codoped tellurite glass. *Acta Optica Sinica* (光学学报), 2003, **23**(2): 210~215 (in Chinese)
- 4 Yang Jianhu, Dai Shixun, Hu Lil. The influence of Ce³⁺ on the upconversion of Er³⁺ doped tellurite glass. *Chin. J. Lasers* (中国激光), 2003, **30**(3): 267~270 (in Chinese)
- 5 Philipps J F, Töpfer T, Ebendorff-Heidepriem H *et al.*. Spectroscopic and lasing properties of Er³⁺:Yb³⁺-doped fluoride phosphate glasses. *Appl. Phys.*, 2001, **B72**: 399~405
- 6 Yang Jianhu, Dai Shixun, Zhou Yuefen *et al.*. Spectroscopic properties and thermal stability of erbium-doped bismuth-based glass for optical amplifier. *J. Appl. Phys.*, 2003, **93**(2): 977~983
- 7 Zou Xuelu, Itoh Katsuhisa, Toratani Hisayoshi. Transmission loss characteristics of fluorophosphates optical fiber in the ultraviolet to visible wavelength region. *J. Crys. Solids*, 1997, **215**: 11~20
- 8 Obaton A F, Labbé C, Le Boulanger P *et al.*. Excited state absorption in Yb³⁺-Er³⁺-codoped phosphate glasses (ZnO-Al₂O₃-La₂O₃-P₂O₅) around the ⁴I_{13/2} - ⁴I_{15/2} emission spectral range. *Spectrochimica Acta Part A*, 1999, **55**: 263~271